

(ウ) 実験結果**a 地表濃度測定結果**

地表濃度の測定結果を、各測定地点における希釈比（Rd）で整理した。

Rd=測定点における着地濃度/煙突出口濃度

平板実験及び地形模型（東西南北の4方位）による地表煙軸濃度分布は、図 8.1-18～図 8.1-25に示すとおりである。

また、平板実験による地表濃度コンターは図 8.1-26及び図 8.1-27に、地形模型による東西南北の地表濃度コンターは図 8.1-28～図 8.1-35に示すとおりである。

b 煙流し実験結果

強風時風速（8.0m/s）における煙流し実験の様子は図 8.1-36(1)～(4)に示すとおりである。排ガスの挙動は地形や周辺建物の影響により上下方向に揺らぐため、各風向において任意の3枚の写真を示した。排ガスの挙動を観察するための目安として、煙突風下約1,000m及び2,000mの位置に、鉛直方向50, 100, 150, 200, 250, 300, 400, 500mの目盛を配置した。

煙流し実験において排煙を可視化しその挙動を観察した結果は以下のとおりである。

いずれの風向（北、南、西、東）においても、排煙の鉛直変動が見られたが、その程度は風向によって大差はなく、排煙が下方に拡散する状況が継続することはなかった。

また、いずれの風向においても、煙突近傍における排煙の巻き込み等は見られなかった。

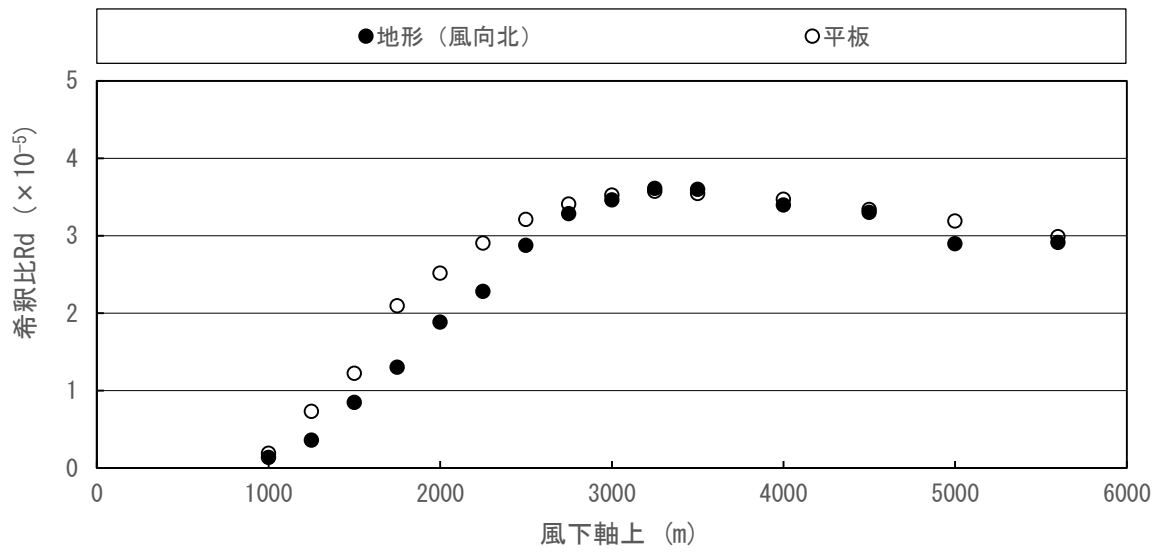


図 8.1-18 地表煙軸濃度分布 (風向北、風速 3.7m/s)

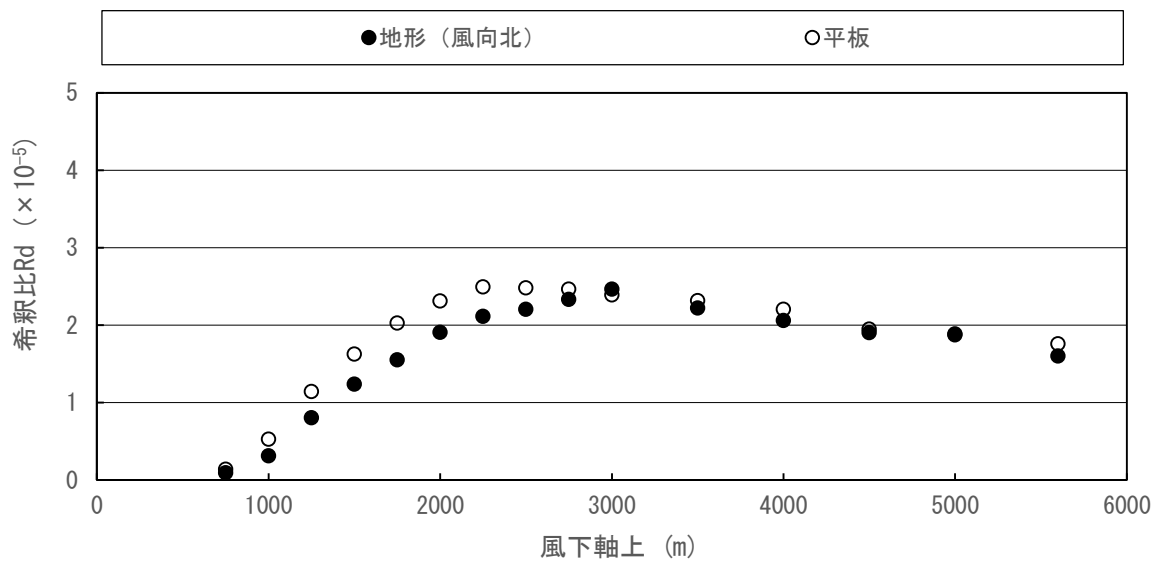


図 8.1-19 地表煙軸濃度分布 (風向北、風速 8.0m/s)

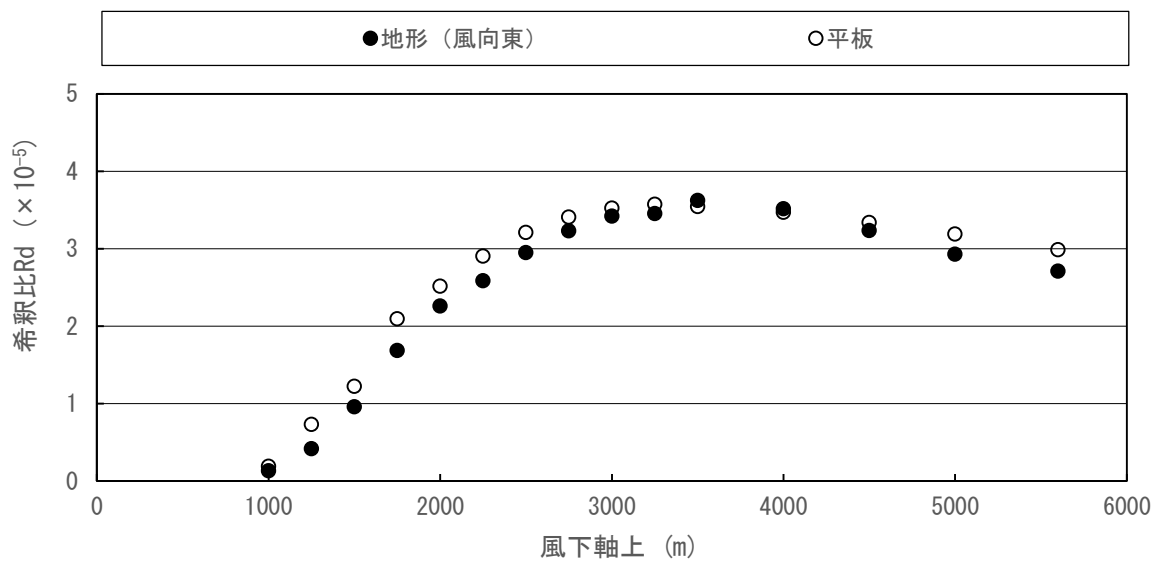


図 8.1-20 地表煙軸濃度分布 (風向東、風速 3.7m/s)

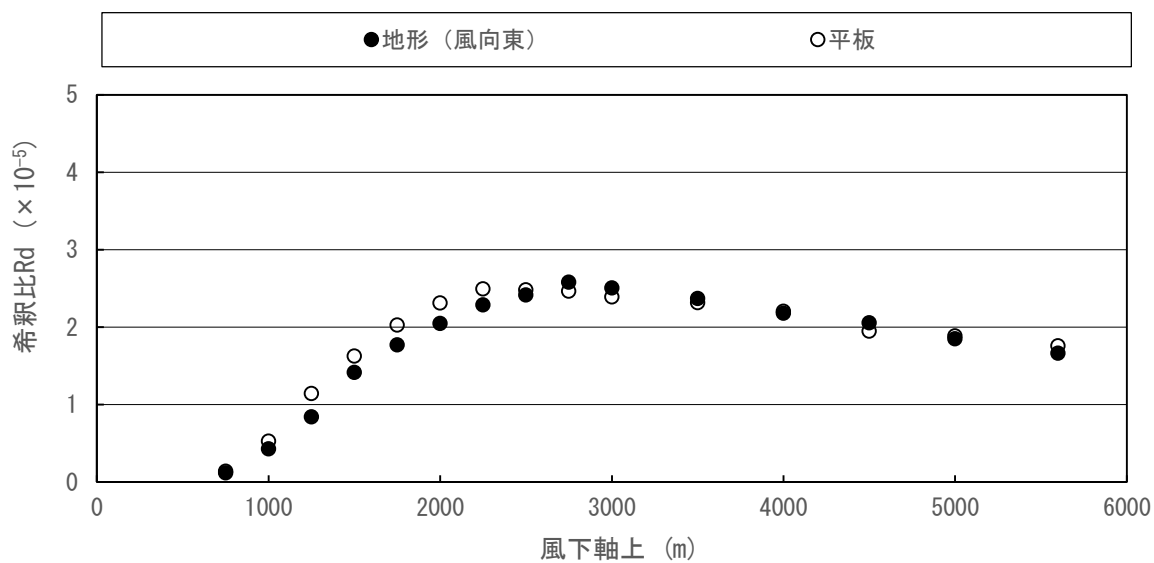


図 8.1-21 地表煙軸濃度分布 (風向東、風速 8.0m/s)

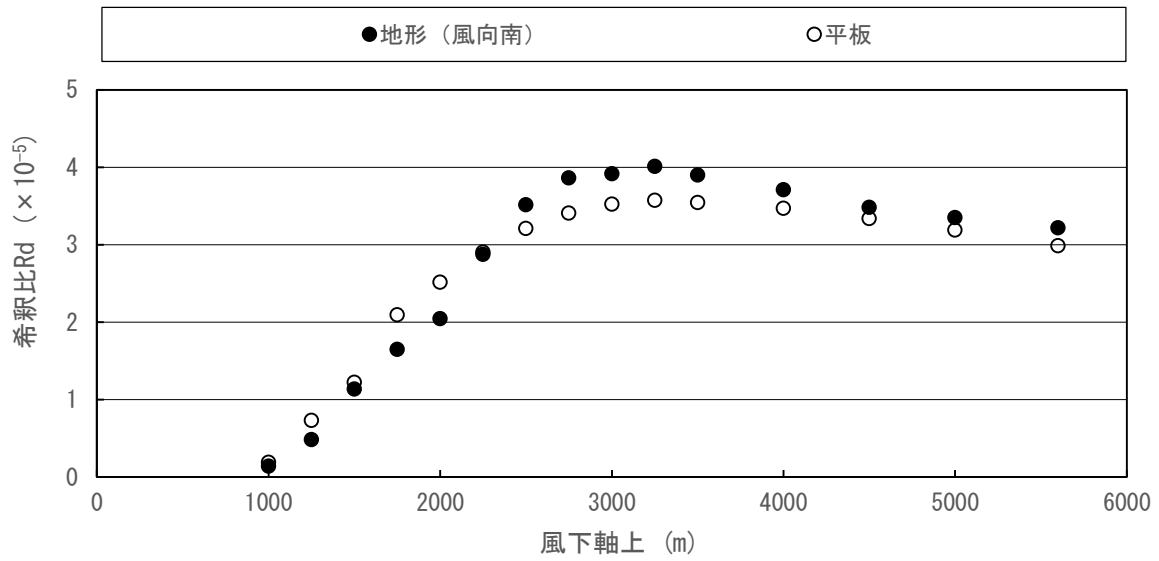


図 8.1-22 地表煙軸濃度分布 (風向南、風速 3.7m/s)

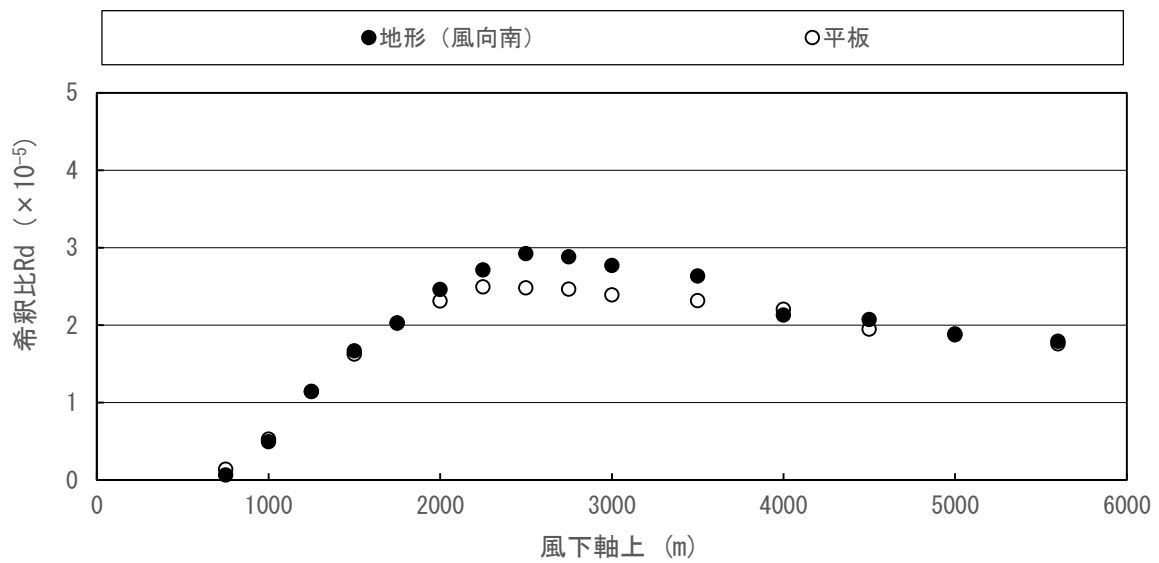


図 8.1-23 地表煙軸濃度分布 (風向南、風速 8.0m/s)

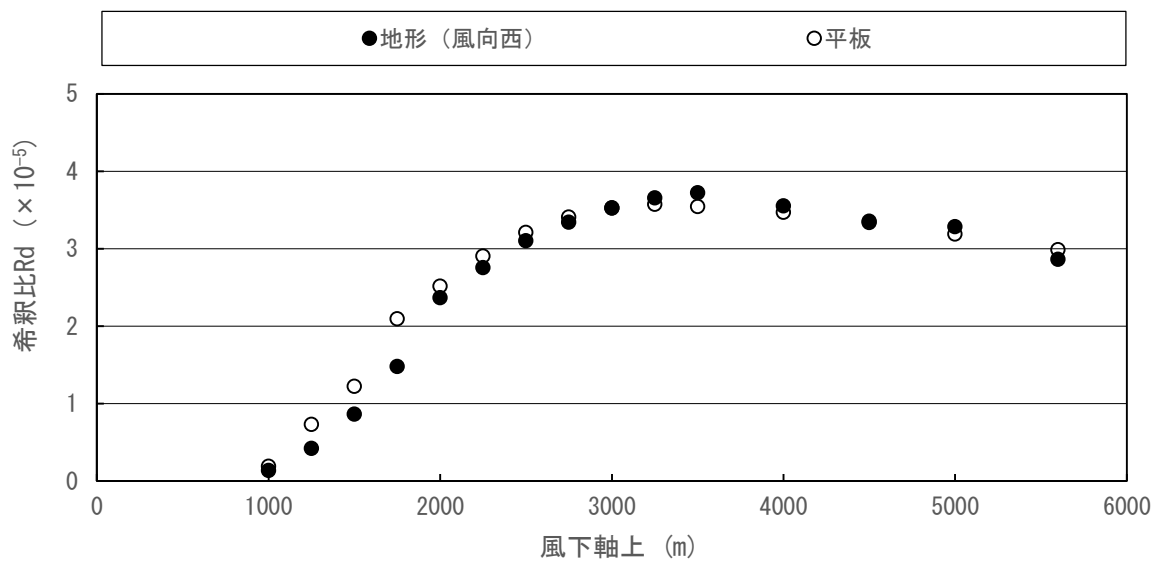


图 8.1-24 地表煙軸濃度分布 (風向西、風速 3.7m/s)

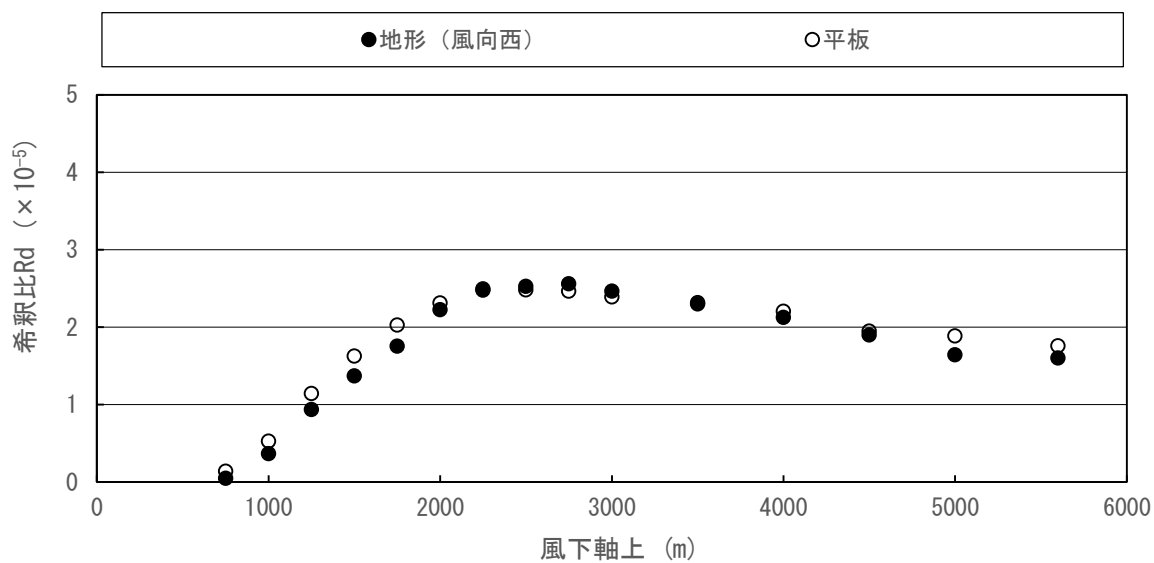


图 8.1-25 地表煙軸濃度分布 (風向西、風速 8.0m/s)

平板 平均風速時 (3.7m/s)

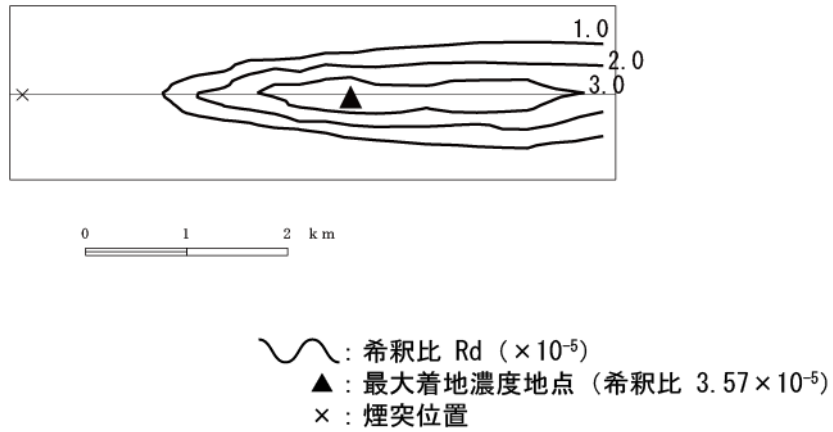


図 8.1-26 地表濃度コンター (平板、風速 3.7m/s)

平板 強風時 (8.0m/s)

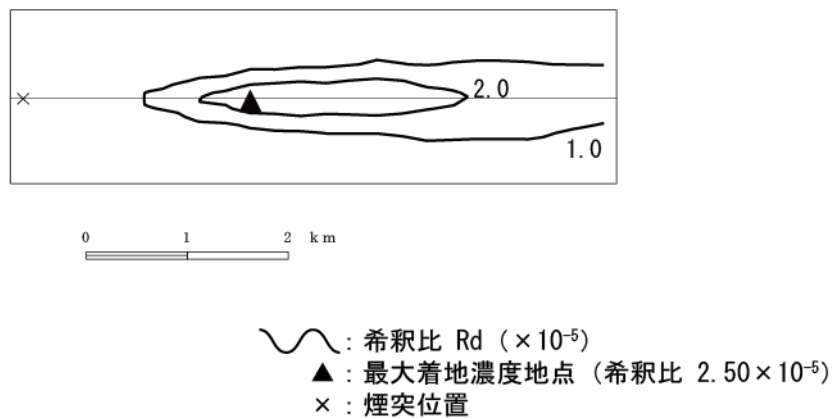


図 8.1-27 地表濃度コンター (平板、風速 8.0m/s)

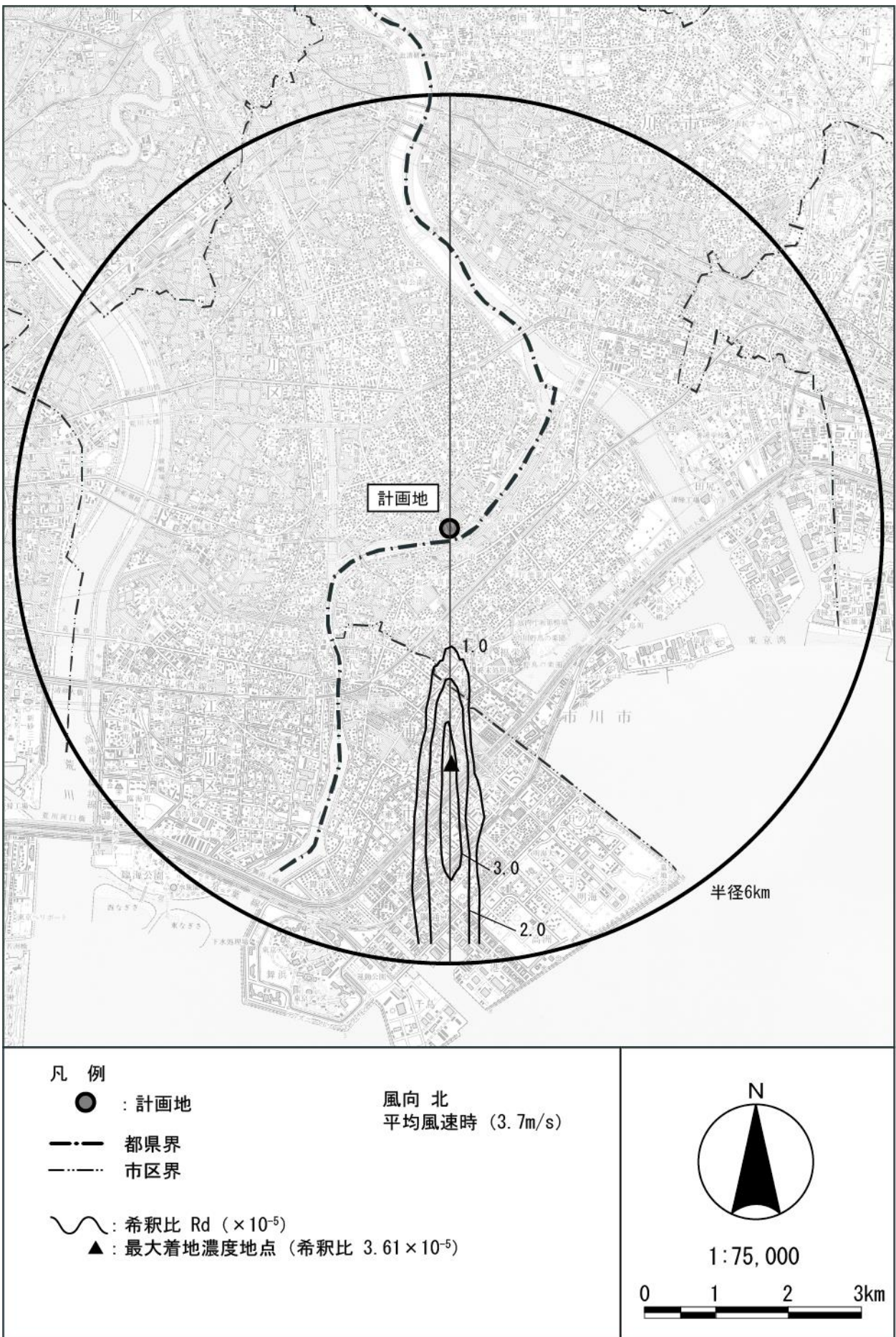


図 8.1-28 地形地表濃度コンター (風向北、風速 3.7m/s)

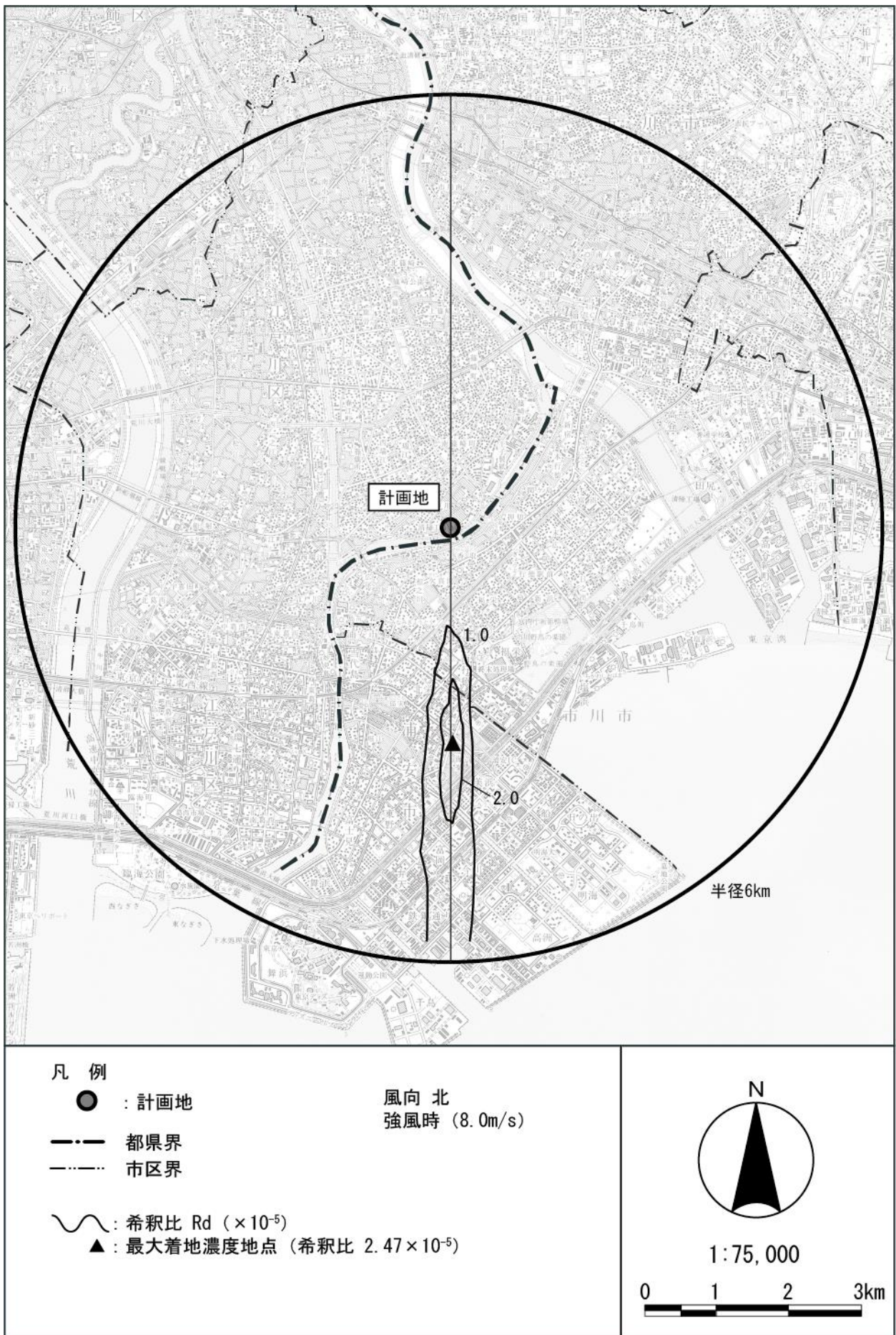


図 8.1-29 地形地表濃度コンター（風向北、風速 8.0m/s）

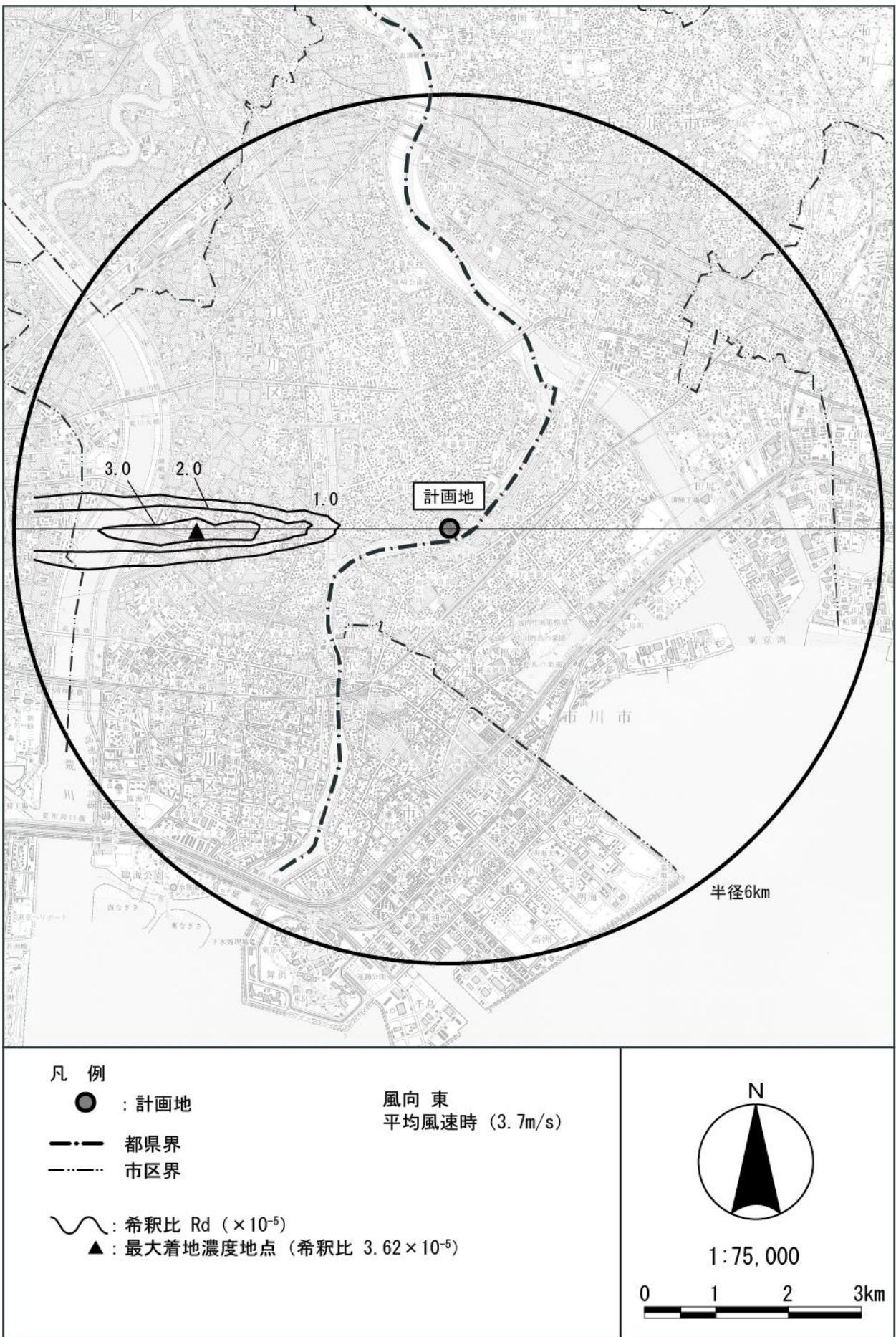


図 8.1-30 地形地表濃度コンター (風向東、風速 3.7m/s)

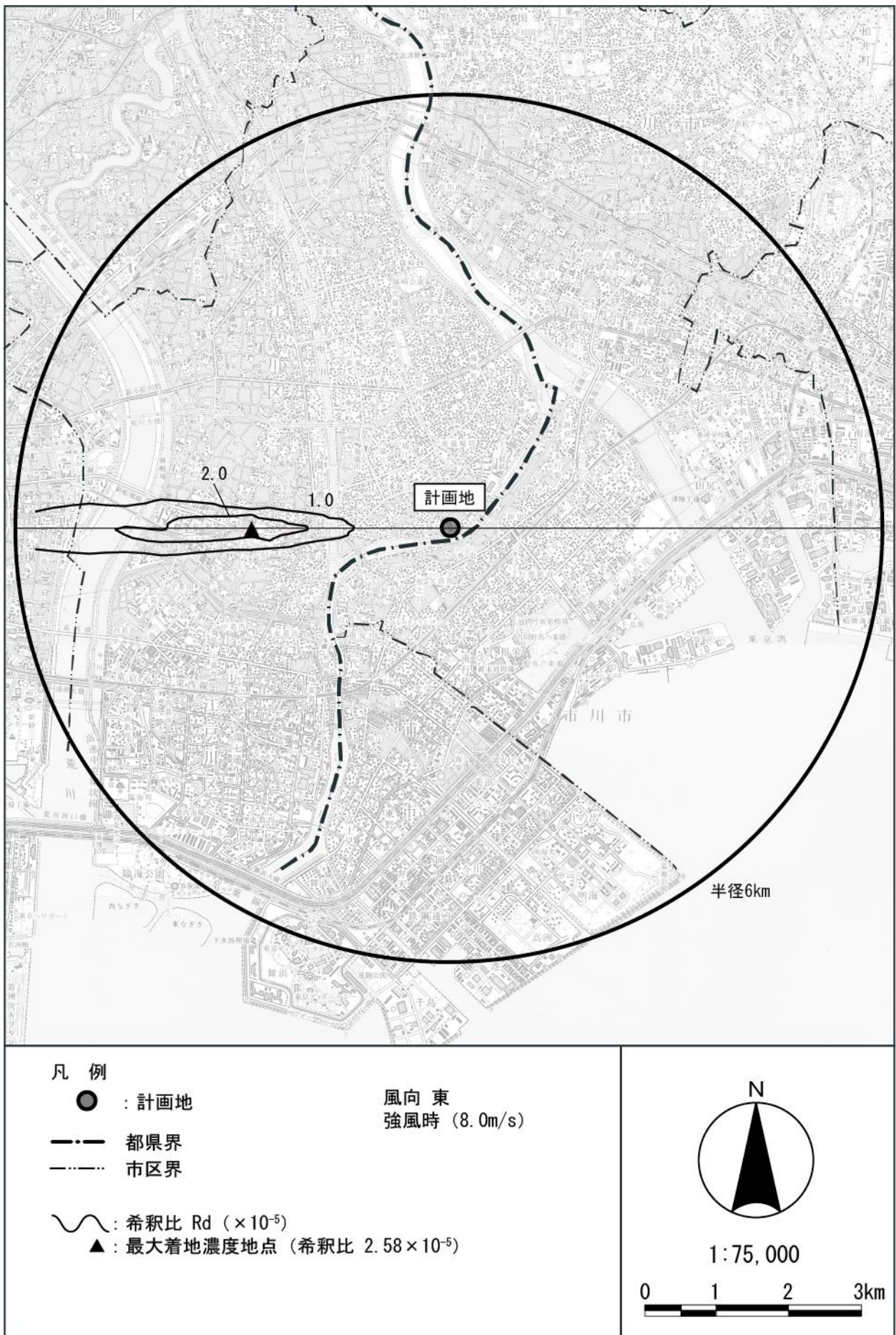


図 8.1-31 地形地表濃度コンター（風向東、風速 8.0m/s）